

川崎重工業(株) 正員 坂井 蘭一

1 まえがき

近年液体タンクの耐震安全性をささやかな角度から検討されているが、その一つの問題は液体-固体の連成振動(流力弹性振動)である。流力弹性振動はダムや海岸構造物などでも生ずるものであるが、実際問題としては種々の複雑な境界条件などを考慮に入れなければならない。このような場合有限要素法の通用が便利であるが、その一般的な取扱い方は必ずしも確立しているとは言い難い。ここではこのような観点から一般的な理論とそのタンク振動問題への応用を論ずる所とする。

2 流力弹性振動の変分原理

弾性体(微小変位)については周知の Hamilton 原理が成立する。すなはち、

$$\delta \int_{t_0}^{t_1} L_e dt = 0 \quad (1)$$

$$\text{ここで } L_e = T_e - V_e \quad (2)$$

$$T_e = \int_{S_e} \frac{\rho}{2} \dot{u}^2 d\Omega \quad (3)$$

$$V_e = \int_{S_e} \left(\frac{1}{2} \epsilon^T A \epsilon - \bar{f}^T u \right) d\Omega - \int_{S_e} \bar{T}^T u ds \quad (4)$$

一方完全流体(うす無し流れ)についても同様に Hamilton 原理が成立することが分っている。これを速度ポテンシャルによつて表わせば、

$$\delta \int_{t_0}^{t_1} L_f dt = 0 \quad (5)$$

$$\text{ここで } L_f = T_f - V_f \quad (6)$$

$$L_f = - \int_{S_f} \frac{\rho}{2} \text{grad}^2 \Phi d\Omega + \int_{S_r} \bar{u}_n \Phi ds \quad (7)$$

$$V_f = - \int_{S_f} \bar{f}^T u d\Omega - \int_{S_p} \bar{p} u ds \quad (8)$$

以上から液体-弾性体連成系について Hamilton 原理が成立するはずである。実際、液体場における物

体力を重力とし、 $\bar{P}=0$ on S_p , $\bar{u}_n=0$ on S_r 、自由表面を S_f 、流体-弾性体接触面を S_c とすれば、Lagrangian を次のようすにすればよい。

$$L = \int_{S_e} \left(\frac{\rho}{2} \dot{u}^2 - \frac{1}{2} \epsilon^T A \epsilon + \bar{f}^T u \right) d\Omega - \int_{S_f} \bar{T}^T u ds - \int_{S_f} \frac{\rho}{2} \text{grad}^2 \Phi d\Omega + \int_{S_f} \left(-\frac{\rho g}{2} n^2 + \rho \dot{n} \Phi \right) ds + \int_{S_c} \rho \bar{u}_n \Phi ds$$

ここで、 n は表面変動量である。 (9)

式(9)を用いて一般的な流力弹性振動解析を行なうことができる。以下では本式に基づいて液体タンクを解析した例を示す。

3 円筒タンクのハーリング

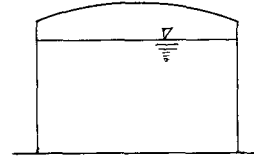


図-1に示すような円筒タンクの流力弹性振動解析を実施した。実タanke用に有限要素法を適用し、タンクはシェルリング要素、液体は四辺形要素に分割した。式(9)より導かれたマトリックス方程式は次のようになる。

$$\begin{bmatrix} M_{11} + M_{11}' & M_{12}' \\ \text{sym.} & M_{22}' \end{bmatrix} \begin{bmatrix} \ddot{u} \\ \ddot{\eta} \end{bmatrix} + \begin{bmatrix} K_{11} & 0 \\ 0 & \text{sym. } K_{22} \end{bmatrix} \begin{bmatrix} u \\ \eta \end{bmatrix} = \begin{bmatrix} 0 \\ 0 \end{bmatrix}$$

'はきほんは付加質量項である。 (10)

これを解いた結果として次のようすを請卓が得られる([文献1), 2), 3)].

① 固有振動解析から、スロッシングと躯体振動(ハーリング)とはほとんど独立であることが分った。前者は剛体タンクの場合に相当し、されめて長周期である。後者は流力弹性振動として特徴的な現象である。その一例を図-2に示す。

② 地震応答解析から、ハーリングによって生ずる動圧力は Housner などの剛体モデルに比べて相当地域でされることが分る。一例を図-3に示す。

以上の結果から短周期地震波に対してハーリングが主要な振動特性であることが分る。また、これはスロッシン

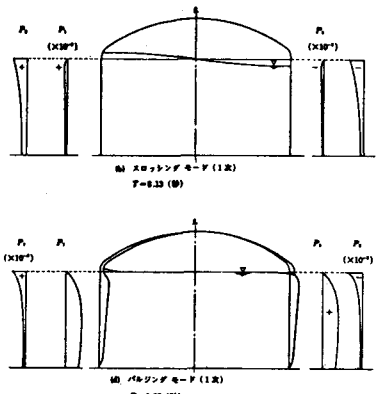


図-2 スロッキングとバルビング

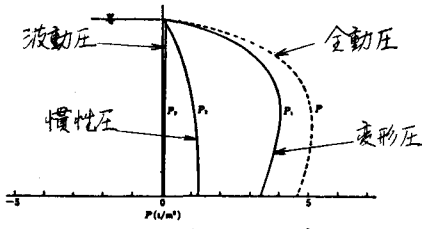


図-3 動圧力の種類とオーダー

ケと独立に扱ってよいので、解析の簡略化が可能である。以下その説導法を示す。

4 断面変形を考慮したばかりとしてのモデル

底部が剛な円筒タンクの水平運動に対するバルビングモデルとして次のようなりを考へる。

たわみ: v セン断剛性: $Gnat$

曲げたわみ角: ψ 曲げ剛性: EI

断面変形: $w \cos \theta$

また、速度ポテンシャルに対しては、

$$\text{表面波動零視 } \bar{\psi} = 0 \text{ on } S_f \quad (11)$$

$$\bar{\psi} = \phi \cdot r \cos \theta \quad (12)$$

と仮定する。結局、式(9)より Lagrangian は、

$$L = \int_0^H \left[-\frac{\rho \alpha a^2}{2} (\phi^2 + \frac{a^2}{4} \phi'^2) + \rho \pi a^2 (v' + wr) \phi \right. \\ \left. - \frac{1}{2} Gnat (w' - \psi)^2 - \frac{1}{2} EI \psi^2 \right. \\ \left. - \frac{1}{2} \frac{EI t}{a} w^2 \right] dx \quad (13)$$

ただし、タンクの質量は無視している。これより内液を有するばかりの方程式を導くことができる。

5 深層タンクのスロッキング

図-4のような

深層タンクのス

ロッキングを考え

3. ンの場合の

Lagrangian は

式(9)より次の

ようになる。

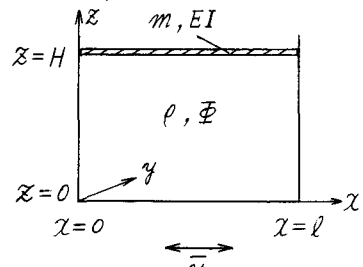


図-4 深層タンク

$$L = \int_0^l \left[\frac{m}{2} \dot{\eta}^2 - \frac{EI}{2} \eta_{xx}^2 - \int_0^H \frac{\rho}{2} \text{grad}^2 \bar{\psi} dz \right. \\ \left. + \rho \dot{\eta} \bar{\psi} \Big|_{z=H} - \frac{\rho g}{2} \eta^2 \right] dx \quad (14)$$

$$+ \int_0^H \rho \bar{u} (\bar{\psi} \Big|_{x=0} + \bar{\psi} \Big|_{x=l}) dx \quad (14)$$

これを変形して次の表面積分に帰することができる。

$$L = \int_0^l \left[\frac{m}{2} \dot{\eta}^2 - \frac{EI}{2} \eta_{xx}^2 + \rho \dot{\eta} \bar{\psi} \Big|_{z=H} - \frac{\rho g}{2} \eta^2 \right] dx \quad (15)$$

これを境界積分法と呼んでいる。(15)

式(15)を用いて深層タンクのスロッキング固有振動数を求めた結果が図-5である。⁴⁾

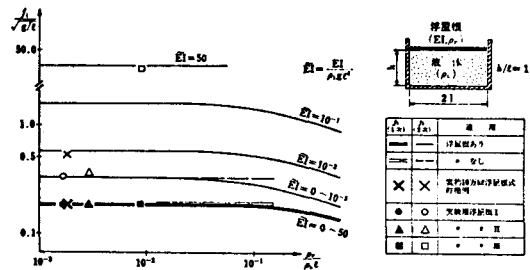


図-5 スロッキング固有振動数

以上の解析の詳細および実験的検証などは別の発表に譲る。

文献

1) 国田・坂井・迫田: 川崎技報第59号(1975)

2) 坂井・迫田: 第4回日本地震工学シンポジウム論文集(1975)

3) 国田・坂井・迫田・多田: 川崎技報第61号(1976)

4) 坂井・国田・真砂・酒井: 土压力技術15-1(1977)